

# تقييم استخدام الرمل السيليكي المحلي في مرشحات معالجة مياه الشرب

م.م. أركان ضاري جلال  
كلية الهندسة  
جامعة الأنبار

م.م. مجید مطر رمل  
كلية الهندسة  
جامعة الأنبار

د. عبد صالح فياض  
مركز دراسات الصحراء  
جامعة الأنبار

تاريخ قبول النشر: ٢٠١١/٥/٢

تاريخ الاستلام: ٢٠١١/١/٩

## الخلاصة (Abstract)

تم في هذه الدراسة تحديد خواص الرمل السيليكي العراقي لغرض استخدامه في المرشحات الرملية السريعة التي تعمل بالجاذبية ، وتشمل الخواص حجم الحبيبات ، معامل الانظام ، شكل الحبيبات ، المسامية ، الكثافة ، الديعومة ، المحتوى الكيبياني (السيليكي) ، قابلية السيليكا للنوبان في الخامض . على العموم تبين إن الرمل السيليكي العراقي ذو ثبوتية كيماوية وميكانيكية وبدرجة عالية

تم تصميم وبناء المفروض التجاري للمرشح ، الذي يتكون من عمود الترشيح وحوض تجمع المياه المعالجة تم تشغيل المرشح لعدد من الدورات (Cycles) وتمأخذ معدل النتائج لخصائص ماء خام معينة ، حيث ترشيح مياه خام ذات كدرة ، مواد صلبة عالقة كلية وعدد احتوالي بكتيري كلية متغيرة ، تم تسجيل النتائج لكل من المياه الخام ، والمياه المعالجة لكل من الكدرة ، المواد الصلبة العالقة والعدد الاحتوالي للبكتيريا.

أظهرت الدراسة إمكانية استخدام الرمل السيليكي العراقي في محطات معالجة مياه الشرب في المرشحات حيث بینت النتائج والتجارب الحقلية أن معدل كفاءة الإزالة الكلية عندما كان الماء الخام يحتوي على معدل كردة مقدارها (٥.٢٤) NTU لكل من الكدرة ، المواد الصلبة العالقة والعدد البكتيري الكلي كانت (٩.٥٨) على التوالي ، ومعدل كفاءة الإزالة الكلية عندما كان الماء الخام يحتوي على معدل كردة مقدارها (٩.٥٨) NTU لكل من الكدرة ، المواد الصلبة العالقة والعدد البكتيري الكلي كانت (٧٩.٤٪، ٧٤.١٪، ٧٨.٧٪) على التوالي ، و معدل كفاءة الإزالة الكلية عندما كان الماء الخام يحتوي على معدل كردة مقدارها (٢٨.٣٥) NTU لكل من الكدرة ، المواد الصلبة العالقة والعدد البكتيري الكلي كانت (٧٢.٦٪، ٧٢.٧٪، ٦٠.٩٪) على التوالي.

## Possibility of using the western Iraqi desert Silica sand at drinking water treatment filters

### Abstract:

This study was determined specified characteristics of Iraqi silica sand , to use it in the drinking water treatment rapid gravity filters. These properties includes grain size ,uniformity coefficient , grain shape , porosity , density , durability, chemical content and capability of solubility in the acid ..this study explained that the Iraqi silica sand has high degree at mechanical and chemical stabilities .The e filter column was operate for many cycles , the average results of raw water and treated water for variable values (turbidity , total suspended solids and total bacterial count) was taken .

The study showed that possibility of use the Iraqi silica sand in the western Iraqi desert in the rapid gravity drinking water treatment plant filters . when the raw

water has initial turbidity (5.24 NTU) ,the study and the experimental tests showed that the average removal efficiency of turbidity , T.S.S ,and T.B.C of (82.9%,82.8% and 79.5%) respectively . when the raw water has initial turbidity (9.58 NTU) ,the study and the experimental tests showed that the average removal efficiency of turbidity , T.S.S ,and T.B.C of (79.4%,78.7% and 74.1%) respectively . when the raw water has initial turbidity (28.35 NTU) ,the study and the experimental tests showed that the average removal efficiency of turbidity , T.S.S ,and T.B.C of (72.6%,72.7% and 60.9%) respectively.

## ١- المقدمة (Introduction)

أن عملية معالجة المياه التقليدية تمر بمراحل عديدة تتضمن الترسيب والترشيح والتعقيم ، يتم إستيراد كميات كبيرة من الرمل في المرشحات المستخدمة لمعالجة مياه الشرب ، إن أكثر الأوساط المرشحة يستعمل وإنشاراً لمعالجة المياه في العالم هو الرمل السيليكي (Silica Sand) . على الرغم من الجهد المبذولة من قبل الحكومة والمنظمات الحكومية وغير الحكومية في توفير مياه شرب صالحة وأمنية للمواطن ، فإن عدد كثير من الناس لا يستعمل مياه أمنيه وصحية ، بسبب الكلف العالية للتتصميم والتنفيذ والتشغيل والصيانة لمحطات معالجة المياه ، لذا فإنه ضرورة البحث عن مواد محلية متوفرة وكفوءة في معالجة المياه يعتبر من العوامل المساعدة في عملية تشغيل وصيانة محطات معالجة المياه . حاجة العراق إلى تطوير عمليات معالجة المياه يمكن إستغلالها محلياً باستخدام مواد محلية متوفرة بكميات كبيرة ، كما أن استغلالها عاليماً سيؤدي إلى دعم الاقتصاد الوطني ، يتتوفر الرمل السيليكي العراقي بكميات كبيرة في الصحراء العراقية (المنطقة الغربية). يبلغ سمك هذه الطبقة حوالي (٢٣) متر .

تتراوح أحجام حبيبات الرمل السيليكي الخام بين (١.٢-٠٠٧٥) ملم وتكون ذات شكل جيد . يبين الجدول رقم (٥) التركيب الكيميائي للرمل السيليكي وتصل درجة نقاوة السيليكون إلى أكثر من (٩٨%) والصيغة الكيميائية لهذه الرمال هي ( $\text{SiO}_2$ ) . يستخدم الرمل السيليكي بشكل كبير في الصناعات السيراميكية والزجاج ، الإسمنت ، الأسمنت . تحتاج صناعة الزجاج والسيراميك إلى حبيبات ناعمة جداً وصافية بينما تحتاج مرشحات المياه إلى حبيبات أكبر نسبياً ولا يهم اللون ، علماً أن هذه المادة توفر محلياً بكميات كبيرة في قلع عكاشات في منطقة عكاشات غربي العراق العائد إلى هيئة المسح الجيولوجي والتعدادين وبسعر (٣٥٠٠٠) دينار عراقي للطن الواحد واصل للموقع من المقلع الحكومي وهو جهة الإنتاج الوحيدة .

تعتبر عملية معالجة المياه بالترشيح من التقنيات الحديثة في المعالجة . تم استخدام المرشح الرملي البطيء في بداية عام (١٩٥٠) ، والذي يوفر مياه ذات نوعية عالية خالية من التلوث البكتيري بأقل الكلف (تشغيل وصيانة) .

استعملت المرشحات الرملية السريعة بعد الحرب العالمية الثانية كمرشح ذو طاقة إنتاجية عالية وتستغل مساحة أقل من المرشحات البطيئة . يحتاج المرشح الرملي السريع إلى عملية غسيل مستمرة عند انخفاض الإنتاجية التي تكون محدودة (٥-٤) (م/٣) من مساحة المرشح / ساعة ) بشرط أن يكون سمك طبقة الرمل بحدود (٦٠-٦٠) متر. إن كفاءة المرشحات الرملية السريعة في الإزالة أقل مما هو عليه في المرشحات الرملية البطيئة .<sup>(١)</sup>

## ٢- هدف الدراسة :

هذه الدراسة ستوجه لتحقيق الأهداف التالية :

- تحديد خصائص الرمل السيليكي العراقي ، تقديم وصف مثالي لخصائص الرمل السيليكي ، لاستخدامه في مرشحات محطات تنقية المياه الخام لأغراض الإستهلاك البشري .
- توظيف خصائص الرمل السيليكي في مرشحات معالجة مياه الشرب .

## ٣- هيدروليكيه الترشيح :

يعرف الترشيج بأنه عملية فصل السائل مما يحيوه من الجسيمات الصلبة عبر فاصل أو حاجز ذي مسامات تمنع مرور الجسيمات الصلبة عنها وتسماح بمرور الراشح . ولقد استخدمت مواد عديدة في الترشيج مثل الرمل ، الأنثراسيت ، الحجارة المكسرة ، اللدائن ، الخرسانة المسامية والترية (Diatomaceous Earth) . وقد أثبتت الرمل محسنته مقارنة بالممواد الأخرى المستخدمة كمادة ترشيجية .<sup>(٢)</sup>

أما الترسيب فيعمل على إزالة الحبيبات العالقة الكبيرة والثقيلة من على سطح حبيبات الرمل ، وتأثير عوامل عدة على كفاءة الترسيب مثل سرعة الترشيح ، سرعة ترسيب المواد العالقة ، درجة اللزوجة ، مقاس الحبيبات ، درجة الحرارة ، عوامل التخثير ، عمق المرشح والجريان المضطرب .<sup>(٣)</sup>

يمكن تقسيم المرشحات حسب سرعة الترشيج إلى مرشحات سريعة وأخرى بطئية . كما يمكن تقسيم المرشحات حسب المادة المرشحة إلى أحادية مادة الترشيج ومتعددة مادة الترشيج ، كما تقسم المرشحات حسب حركة الماء إلى مرشحات الجاذبية ومرشحات الضغط .<sup>(٤)</sup>

تصنف المرشحات إلى ثلاثة أنواع هي المرشحات البطئية ، المرشحات السريعة والمرشحات الضغطية ، جميع هذه المرشحات تمتلك نفس طريقة التنفيذ للأوساط المرشحة التقليدية. الإختلاف الرئيسي بينها هو في نسبة الجريان ، إندار أو هبوط الضغط عبر الوسط المرشح . يستخدم المرشح الرملي البطيء عادة في محطات معالجة المياه لتجهيز المياه البلدية ويكون نسبة الجريان فيها أقل من (٤.٨٩) م/ساعة ، المرشحات الرملية التقليدية السريعة ويكون نسبة الجريان فيها (٤.٨٩ - ٢٩.٥) م/ساعة أما المرشحات الضغطية ويكون نسبة الجريان فيها أكثر من (٣٠) م/ساعة .<sup>(٥)</sup> يبين الجدول رقم (١) بعض خصائص المرشحات الرملية .<sup>(٦)</sup>

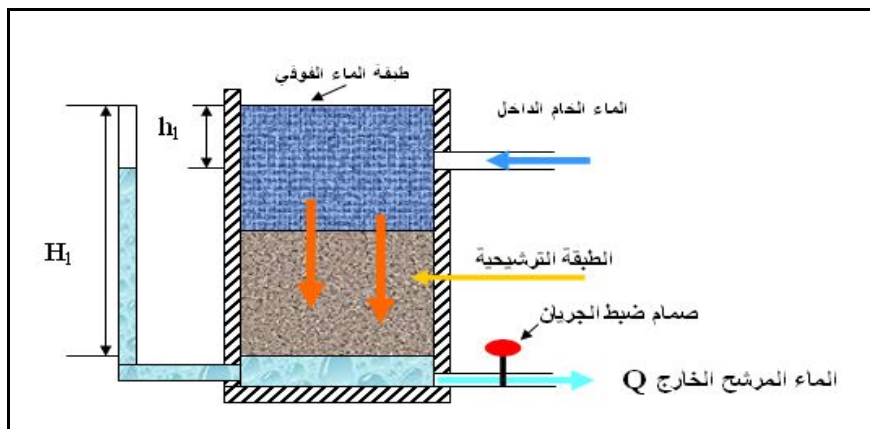
جدول رقم (١) بعض خصائص المرشحات

الوصف	المرشح الرملي السريع	المرشح الرملي البطيء
معدل الترشيج Filtration Rate	(٤) (م/ساعة)	(٢١-٥-٤) (م/ساعة)
مساحة القاع Area of the bed	(٤٠٠-٤٠) متر مربع	(٤٠٠-٤٠) متر مربع
عمق الوسط المرشح Depth of the filter media	(٧٠-٦٠) سنتيمتر رمل	(١١٠-٩٠) سنتيمتر رمل
الحجم الفعال (E.S) Effective volume (E.V.)	أكبر من (٥٥) ملم	(٠.٣ - ٠.٢٥) ملم
معامل الإنظام (U.C)	أقل من (١.٥)	(٣ - ٢)
التوزيع الحجمي للحبيبات (G.S.D)	متضيق تكون الحبيبات الناعمة في الأعلى والخشنة في الأسفل	غير مطبق
خسائر الطاقة (Head loss)	(٢.٧٥ - ٠.٣) متر	(١٢٠ - ٦) سنتيمتر
مدة التشغيل Operational time	(٦٠ - ٢٠) يوم	(٦٠ - ٢٠) ساعة
كثافة مياه العasil Specific weight of treated water	(٩١ - ٩٤) % من المياه المعالجة	(٥٠.٦ - ٥٠.٢) % من المياه المعالجة

تم استخدام الرمل السيليكي في كثير من التطبيقات في معالجة المياه البلدية ، حيث تضمن العمل عمليات الترشيج لمعالجة المياه من خزانات التعدين ، هذه الدراسات أثبتت إمكانية استخدام الرمل السيليكي في العديد من التطبيقات وهو وسط مرشح فعال وبديل عن الرمل الإعديادي .<sup>(٧)</sup>

تم استخدام المرشحات بعد الحرب العالمية الثانية مع معدل ترشيج يصل إلى أكثر من (٢٠) غالون بالدقيقة لكل قدم مربع (gpm/ft<sup>2</sup>).<sup>(٨)</sup> ، هذه المرشحات السريعة لا تستخدم للمبيدات ، إن عدم استعمال المبيدات والمحثرات وسرعة الترشيج العالية يعتبر عاملاً حرجاً أثناء تصميم وحدات المعالجة مثل المرشحات لذا يتطلب الحصول على وسط مرشح عالي التدرج وكفاءة ، المنخل القياسي الأمريكي رقم (٣٠ ، ٢٠) يعتبر مثالياً جداً للحصول على وسط عالي التدرج .

تشابه المقاومة لجريان الماء عبر المرشحات تلك التي تحدث في الأنابيب الدقيقة أو الشعرية وأيضاً تشابه المقاومة من السائل على المواد المترسبة . تفترض المعادلة المستخدمة في هيدروليكي الترشيج وجود حبيبات منتظمة مكونة للوسط الترشيعي . يبين الشكل رقم (١) رسم خططي يوضح خسائر الطاقة في المرشح .<sup>(٩)</sup>



شكل رقم (١) يبين رسم تخطيطي يوضح خسائر الطاقة في المرشح

: (Typical properties of granular filter media) **الخصائص المثالية للأوساط الحبيبية المرشحة** توجد بعض الخصائص المهمة للأوساط المرشحة يجب أخذها بنظر الإعتبار عند اختيار الوسط المرشح (Media) لأنها تؤثر على كفاءة الترشيح ، هذه الخصائص تتضمن :

#### ٤-١: حجم الحبيبات والتوزيع الحجمي (Grain Size & Size Distribution)

يؤثر حجم الحبيبات تأثيراً كبيراً على كفاءة عملية الترشيح وعلى متطلبات عملية الغسيل العكسي للوسط المرشح . يتم تحديد حجم الحبيبات بإستخدام عدة طرق منها طريقة التحليل المنخلي المستخدمة من قبل الهيئة الأمريكية للمواد والفحوصات (ASTM)، يستخدم الفحص القياسي للتحليل المنخلي للحبيبات الناعمة والخشنة المواصفة القياسية (C163-92) <sup>(٨)</sup> . يتم رسم النتائج على ورق لوغارمي (Log -Paper) ، وكما في الشكل رقم (٤) في الولايات المتحدة الأمريكية يتم وصف التدرج الحجمي للأوساط المرشحة باستخدام الحجم الفعال (Effective Size) ومعامل الإنظام (Uniformity Coefficient) . يعرف الحجم الفعال بأنه مقاس فتحة المنخل بالملیمتر التي تسمح بمرور ما نسبته (١٠%) من الحبيبات وزناً ، ويتم إيجاده من منحنى ويرمز له ( $d_{10}$ ) . أما معامل الإنظام فهو مقياس لمدى حجم الحبيبات وهو النسبة بين ( $d_{60}$ ) إلى ( $d_{10}$ ) التي يتم إيجادها من منحنى التوزيع الحجمي <sup>(٩)</sup> .

يعتبر حجم حبيبات الرمل من العوامل المهمة في اختيار الأوساط المرشحة وذلك للأسباب التالية :  
المرشحات ذات الوسط الحبيبي الناعم تنتج نوعية مياه أفضل من المرشحات ذات الوسط الخشن <sup>(١٠)</sup> .  
المرشحات ذات الوسط الحبيبي الناعم تسبب خسائر في الشحنة (الطاقة) (Head loss) أكثر من المرشحات ذات الوسط الخشن .  
المرشحات ذات الوسط الحبيبي الخشن تسمح للجسيمات بالمرور أعمق خلال الوسط المرشح وبالتالي يزيد مدة تشغيل المرشح أكثر مما هو في المرشحات ذات الوسط الناعم . المرشحات ذات الوسط الحبيبي الخشن تكون عملية الغسيل أكثر فعالية مما هو في المرشحات ذات الوسط الناعم ، وذلك لأن الجسيمات الخشنة تحتاج إلى سرعة كبيرة لغسلها وهذا يدوره سيسبب بقوى قص كبيرة على اللبادات الملتصقة بالحبيبات الخشنة. <sup>(١٠)</sup>

#### ٤-٢: شكل الحبيبات والكروية (Grain Shape & Roundness )

إن شكل وكروية الحبيبات يعتبر مماً بسب تأثيرها على متطلبات عملية جريان المياه في مرحلة الغسيل العكسي للوسط المرشح ، مسامية الوسط المرشح ، كفاءة الترشيج ، خسائر الطاقة (Headlosses) <sup>(١١)</sup> .

#### ٤-٣: كثافة الحبيبات (Grain Density):

تعتبر الكثافة الكلية للوسط المرشح من المعايير المهمة للأوساط المرشحة بسب تأثيرها على متطلبات عملية الغسيل العكسي للوسط المرشح . الحبيبات التي كثافة عالية نسبياً و لها نفس القطر تحتاج إلى معدل جريان أعلى لتحقيق متطلبات عملية الغسيل . يتم إيجاد كثافة الحبيبات الجافة حسب المعايضة القياسية للهيئة الأمريكية للمواد والمواصفات (ASTM) رقم (C 128-93).<sup>(٨)</sup>

#### ٤-٤: صلابة الحبيبات (Grain Hardness):

تعتبر صلابة الحبيبات من العوامل المهمة من أجل ديمومة عمل المرشح لفترات طويلة الأمد (Long Time Operation) ، يتم وصف الصلاة بإستخدام رقم موهير (MOH Number) وهو مقياس من عشر درجات لقدرة المعادن والماء على الحدوث أو الحفظ . تم وضع جدول بين صلابة كثير من المواد من قبل (Trefethen)<sup>(٩)</sup> . تختلف الأوساط المرشحة في درجة صلابتها ، يمتلك الفحم والكاربون الحبيبي المنشط صلابة قليلة بينما يكون الرمل السيليكي صلابة عالية تتراوح بين (٦ - ٧) لذلك لا داعي للقلق بشأن صلابة الرمل السيليكي .<sup>(١٠)</sup>

#### ٤-٥: المسامية (Porosity):

وهي النسبة بين حجم الفراغات إلى الحجم الكلي ، ويعبر عنها بنسبة عشرية أو كنسبة مئوية . تؤثر المسامية على متطلبات عملية الغسيل العكسي للوسط المرشح ، خسائر الطاقة وثبوتية الوسط المرشح . تتأثر المسامية بشكل الحبيبات ، الحبيبات الزاوية (Angular Grains) لها معامل شكل (كروية) واطئ بينما تكون أكثر مسامية وثبوتية . إن استخدام مواد لها معامل انتظام عالي ، وتدخل الحبيبات الصغيرة بين الفراغات للحبيبات الكبيرة في الوسط المرشح سيؤدي إلى تقليل المسامية . إن مسامية الأوساط المرشحة تكون عالية بالقرب من جدار عمود الترشيح لهذا من الملائم جعل قطر عمود الترشح أكبر بـ (٥٠) مرة من أكبر قطر للحبيبات للوسط المرشح وعلى سبيل المثال (d<sub>90</sub>) للتقليل من تأثير جدران عمود الترشح .<sup>(١١)</sup>

#### ٤-٦: التركيب الكيميائي للوسط المرشح :

يجب أن يكون التركيب الكيميائي متوافقاً مع المعايضة العراقية رقم (١٥٥٥) ، من خلال فهم العوامل السابقة لخصائص الأوساط المرشحة يقدم الجدول رقم (٢) بعض القيم المثلية لبعض خصائص الأوساط المرشحة . إن الفرق الكبير في كثافة الحبيبات الخشنة يسمح بتصميم مرشح ثنائية الطبقة أو أكثر ، الذي يستخدم الوسط الحشن ذي الكثافة الظاهرة في الأعلى والوسط الناعم ذي الكثافة العالية في الأسفل . بين الجدول رقم (٢) مواصفات الرمل والخصى المستخدم في عملية الترشيح حسب المعايضة العراقية رقم (١٥٥٥) لرمل المرشحات.<sup>(١٢)</sup>

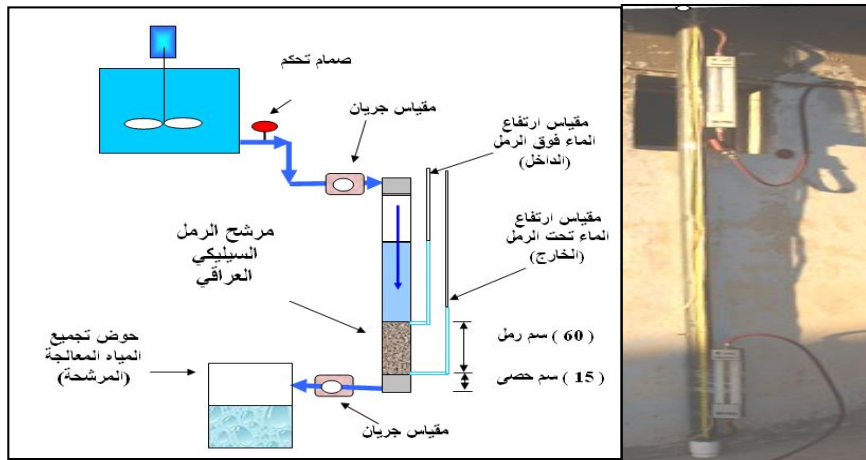
جدول رقم (٢) مواصفات الرمل والخصى المستخدم في عملية الترشيح حسب المعايضة العراقية رقم (١٥٥٥)

الخصائص	الحد الأعلى (%)	الحد المنخفض (%)	الحد الأعلى (%)	الحد المنخفض (%)	الحد الأعلى (%)	الحد المنخفض (%)	الحد الأعلى (%)	الحد المنخفض (%)
الخصائص	الأطياب	المواد العضوية	الثأكل بالحامض	SO <sub>3</sub>				
الكتافة الحبيبية	كمد أعلى ٢%	كمد أعلى ٥%	كمد أعلى ٢%	كمد أعلى ١%				
معامل الإنظام	كمد أعلى ٥%	كمد أعلى ٢%	كمد أعلى ٢%	كمد أعلى ١%				
نسبة السيليكا للرمل	كمد أعلى ٢%	كمد أعلى ١%	كمد أعلى ٢%	كمد أعلى ١%				
المطلوبات	(٢٦٧٠ - ٢٥٠٠) كغم/م <sup>٣</sup>	١.٥ كحد أعلى	١.٠ كحد أعلى	٠.٩٠ لا تقل عن (%)				
النسبة المئوية للمواد العابرة من غربال حجم (ملم)	٠.٤٢٥	٠.٥	٠.٦	٠.٧١	٠.٨٥	١	١.١٨	١.٤
رمل مرشحات	-	-	٥	-	٩٥	-	-	٠.٦ - ٠.٨٥

#### ٥- طريقة العمل:

أجريت هذه الدراسة لمعرفة إمكانية استثار الرمل السيليكي العراقي كوسط مرشح في مرشحات محطات مياه الشرب . تم عمل نموذج لعمود الترشح كما في المخطط رقم (٣) الذي يتكون من حوض الماء الخام ، حيث استخدم طين الكاؤولين لإضافة الخصائص إلى الماء الخام (مياه ذات كدرة ٥.٢٤، ٩.٥٨، ٢٨.٣٥ NTU) وبحجم (١) متر مكعب ، تم تجهيز حوض الماء الخام بمحرك كهربائي (خلط) وصمام تحكم (Valve) . عمود للترشح بقطر داخلي (٧.٠) سنتيمتر وارتفاع (٢.٩٥) متر . وضعت طبقة من الخصى تحت طبقة الرمل لغرض الإسناد ، وضع (٦٠) سم من الرمل السيليكي بعمود الترشح ، ثبت على المرشح صمامات للتحكم

بعد جريان المياه (الداخله ) ، مقياس لمعدل الجريان (Flowmeter) ومقاييس لارتفاع الماء لمعرفة مقدار خسائر الطاقة خلال الوسط المرشح ، وكذلك لتحديد فترة التشغيل الملائمة حسب مقدار خسائر الطاقة. استخدمت عبوات زجاجية معقنة سعة (١٠٠) ملليتر لحفظ العينات لغرض الفحص ، يثبت عليها المعلومات الخاصة مثل ماء خام (غير معالج ، ماء معالج ، الكدرة (الإمكانية إيجادها حقيقة)، فترة التشغيل والتاريخ ، سرعة الترشيح ، مقدار خسائر الطاقة. تم ترشيح مياه خام ذات كدرة ، مواد صلبة عالقة كثيفة وعدد احتقالي بكثير كلية متغيرة . تم مراعاة المواصفات والطرق القياسية المتبعه في عملية أخذ النماذج والتحليل للمياه<sup>(١٤)</sup>. أعتمدت المواصفة العراقية رقم (١٥٥٥) لتقدير خصائص الرمل السيليكي العراقي. أجريت فحوصات خصائص الرمل السيليكي في مختبرات كلية الهندسة أما فحوصات نوعية المياه تم قياس الكثافة حقيقة ، أما المواد الصلبة العالقة والعدد البكتيري الكلي فقد أجريت في مشروع ماء الرمادي الكبير وبإشراف الباحثين .



شكل رقم (٣) مخطط لعمود الترشيح المستخدم في البحث

## ٦- الأجهزة والأدوات المستخدمة : استخدمت الأجهزة والأدوات الموضحة في الجدول التالي:

جدول رقم (٣) الأجهزة والأدوات المستخدمة في البحث

اسم الجهاز	الموديل	اسم الجهاز	الموديل
جهاز قياس الكدرة	HII93703	فرن كهربائي	TAISITE
ميزان كهربائي	Sartorius	أوساط معدنية	Fanem model -502 size 2
جهاز فحص	(Retsch)	جهاز فحص	GEC-Elliot –England
الحجم الحبيبي			ROTAMETER

## ٧- النتائج والمناقشة :

### ١-٧ : خصائص الرمل السيليكي العراقي:

يبين الجدول رقم ( ٤ ) مواصفات الرمل السيليكي المستخدم في عملية الترشيح بينما يشير الجدول رقم ( ٥ ) التركيب الكيميائي للرمل السيليكي العراقي

جدول رقم (٤) مواصفات الرمل السيليكي المستخدم في عملية الترشيع

الخاصية	القيمة	الخاصية	القيمة
الأطيان %	قليلة جداً	الكتافة الظاهرية (kg/m <sup>3</sup> )	١٥٦٥
المواد العضوية %	قليلة جداً	الشكل	شبه زاوي - شبه مدور
التاكل بالحامض بعد العمر بالحامض (HCl) %	٠.١٢	معامل الشكل	٠.٨ - ٠.٦
ملدة (٢٤) ساعة %	١.٢	معامل الإنظام	١.٢
محتوى الكبريتات (SO <sub>3</sub> ) %	٠.٦١	الحجم الفعال (E.S)	٥٩٨.٣
الكتافة الحبيبية (kg/m <sup>3</sup> )	٢٦١٠	السماسمية %	٤٢

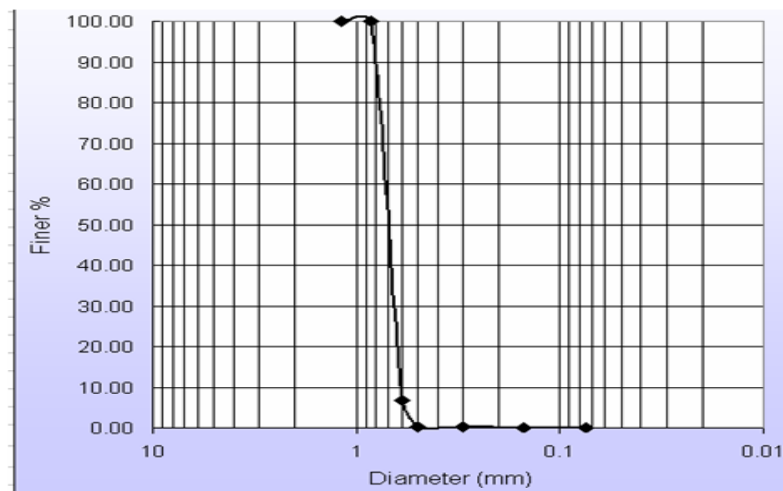
### جدول رقم (٥) التركيب الكيميائي للرمل السيليكي

التركيب الكيمياوي	SiO <sub>2</sub>	MgO	CaO	Al <sub>2</sub> O <sub>3</sub>	Na <sub>2</sub> O	K <sub>2</sub> O	Fe <sub>2</sub> O <sub>3</sub>	فقد بالاحراق
المحتوى (%)	٩٨.٣	٠.٠٦	٠.٥٥	١.٠٦	٠.١٢	٠.١٥	٠.١٦	٠.٧٤

أظهرت الفحوصات الخبيرة بأن الرمل السيليكي المحلي يمتلك خصائص فيزيائية وكماوية ممتازة يمكن توظيفها في عملية معالجة المياه من خلال استخدامه في المرشحات، حيث أن المعايير الفيزيائية والكماوية الموضحة في الجدولين رقم (٤) ورقم (٥) تتوافق مع المعايير العراقية رقم (١٥٥٥) لرمل المرشحات حيث تبين إن الرمل السيليكي العراقي ذو ثبوة كماوية وmekanikie وبدرجة عالية حيث كانت نسبة النوبانية في الحامض بعد (٢٤) ساعة حوالي (٠١٢%) والمحتوى السيليكي كان (٩٨.٣%) وكانت الكثافة الكلية حوالي (٢٦١٥) كغم/م<sup>٣</sup>. شكل الحبيبات يتراوح ما بين (شبه زاوي - شبه مدور)، حجم الحبيبات الفعال كان (٠.٦١) ملم ، معامل الإنظام كان (١.٢). ونسبة الأطيان والممواد العضوية قليلة جداً وكانت نسبة المسامية (٤٢%).

### ٢-٧: الحجم الحبيبي (Grain Size)

يبيّن الشكل رقم (٤) التوزيع الحجمي لحبيبات الرمل السيليكي مرسوم على ورق لوغاريثمي



شكل رقم (٤) يبيّن التوزيع الحجمي لحبيبات الرمل السيليكي العراقي

### ٣-٧: ظروف الترشيح (Filtration Conditions)

تم عمل نموذج مختبري مصغر لمعالجة المياه كما مبين في الشكل رقم (٣)، تم استخدام عمود (أنبوب) ذو قطر داخلي مقداره (٧) سنتيمتر وارتفاع (٢.٩٥) متر مساحة سطحية (٣٨.٤٨٥) سنتيمتر مربع. كان عمق الوسط المرشح (الرمل) (٦٠) سنتيمتر أي ما يعادل (٢٣٠٨) سنتيمتر مكعب . من خلال الدراسة الأولية للموديل (Small Scale Plant) ثبتت ظروف التشغيل التالية في البداية وأستخدم ماء نظيف نسبياً لغرض تخمين قابلية ترشيح الرمل السيليكي اعتاداً على ارتفاع عمود الماء فوق طبقة الرمل السيليكي ، يبيّن الجدول رقم (٦) والشكل رقم (٥) تغير قابلية الترشيح للرمل السيليكي مع تغير ارتفاع عمود الماء فوق طبقة الرمل السيليكي ، وتم التحكم بسرعة الترشيح من خلال صمام تحكم ومقياس للجريان، تم تثبيت معدل جريان مقداره (٠.٧٥) لتر / دقيقة من خلال صمامات التحكم حيث كانت قابلية الترشيح (١١.٧) م/ساعة ، ليلاً قابلية الترشيح للرمل والذي يكون عندما يكون منسوب الماء (١) متر فوق طبقة الرمل السيليكي ولعطيه مرونة في فترة تشغيل المرشح . احتوى المرشح على طبقة سفلية من الحصى المدرج (1/8x3/4") وبسمك (١٠) سم لغرض إسناد طبقة الرمل وما مقداره (٦.٠٣٥) كغم ) من الرمل السيليكي العابر من المنخل رقم (٢٠) والمتبقي على المنخل رقم (٣٠) .

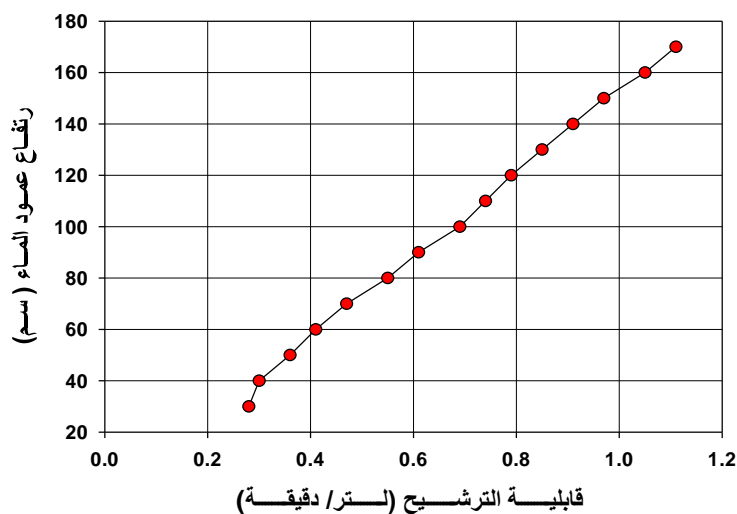
تم استخدام مياه معالجة (ترسيب) خالية من الكدرة لغرض معرفة قابلية الترشيح للرمل السيليكي العراقي . يبيّن الجدول رقم (٦) والشكل رقم (٥) تغير قابلية الترشيج مع تغير ارتفاع عمود الماء فوق الرمل السيليكي ، في بداية تشغيل عمود الترشيج تم اختيار ارتفاع

(١٠٠) سم حيث كانت قابلية الترشيح (٦٩.٠٠) لتر / دقيقة والتصريف الداخلي تم تثبيته عند (٧٥.٠٠) (لتر / دقيقة) لغرض إعطاء قابلية ترشيح أولية تتلائم مع التصريف الداخلي وكذلك يعطي مرونة في فترة تشغيل المرشح .

**جدول رقم (٦) تغير قابلية الترشيج للرمل السيليكي العراقي مع تغير منسوب عبود الماء فوق طبقة الرمل السيليكي**

قابلية الترشيج (لتر/دقيقة)	ارتفاع عبود الماء (سم)	قابلية الترشيج (لتر/دقيقة)	ارتفاع عبود الماء (سم)
٠.٧٤	١١٠	٠.٢٨	٣٠
٠.٧٩	١٢٠	٠.٣٠	٤٠
٠.٨٥	١٣٠	٠.٣٦	٥٠
٠.٩١	١٤٠	٠.٤١	٦٠
٠.٩٧	١٥٠	٠.٤٧	٧٠
١.٠٥	١٦٠	٠.٥٥	٨٠
١.١١	١٧٠	٠.٦١	٩٠
		٠.٦٩	١٠٠

يوضح الشكل رقم (٥) إن زيادة ارتفاع عبود الماء فوق طبقة الرمل يؤدي إلى زيادة قابلية الترشيج (Filterability).



**شكل رقم (٥) يبين قابلية الترشيج مع تغير ارتفاع عبود الماء فوق طبقة المل السيليكي**

توضح الجداول رقم (٧) ، رقم (٨) ورقم (٩) نتائج التي تم الحصول عليها بترشيج مياه حام ذات معدل كدرة أولية ، معدل مواد صلبة عالقة كليلة أولية و معدل عدد احتمالي بكتيري كلية أولي متغير باستخدام رمل سيليكي بسمك (٦٠) سم

**جدول رقم (٧) معدل النتائج لماء حام يحتوي على معدل كدرة مقدارها (٥٢٤ NTU)**

الزمن (ساعة)	التصريف (لتر/دقيقة)	خسائر الشحنة	قابلية الترشيج (%)	كفاءة إزالة الماء (%)	كفاءة إزالة البكتيريا (%)	الصلبة العالقة (%)	Qout (لتر / دقيقة) (طاقة) (سم)	Qin (لتر / دقيقة) (طاقة) (سم)	HL	
٦٠.٤	٧٦.٩	٧٦.١	٠.٦٩	٣٣	٠.٧٥	٠				
٦٠.٤	٧٧.٩	٧٦.٩	٠.٧١	٣٥	٠.٧٥	٥				
٦٤.٥	٧٨.٣	٧٧.٨	٠.٧١	٣٧	٠.٧٥	١٠				
٦٤.٥	٧٨.٩	٧٨.٦	٠.٧	٤١	٠.٧٥	١٥				
٦٦.٦	٧٩.٦	٧٩.٣	٠.٧٢	٤٣	٠.٧٥	٢٠				
٦٨.٧	٨٠.٢	٨٠.٥	٠.٧٣	٤٨	٠.٧٥	٢٥				
٧٠.٨	٨٠.٩	٨١.٢	٠.٧٣	٥١	٠.٧٥	٣٠				
٧٢.٩	٨١.٣	٨٢.٤	٠.٧٤	٥٤	٠.٧٥	٣٥				

٧٥	٨١.٧	٨٠.٧	٠.٧٤	٥٧	٠.٧٥	٤٠
٧٧.٠	٨٢.٠	٨٢.٤	٠.٧٤	٦٢	٠.٧٥	٤٥
٧٩.١	٨٢.٤	٨٣.٠	٠.٧٤	٦٩	٠.٧٥	٥٠
٨١.٢	٨٢.٩	٨٣.٥	٠.٧٥	٧٥	٠.٧٥	٥٥
٨٣.٣	٨٣.٢	٨٤.٣	٠.٧٤	٧٩	٠.٧٥	٦٠
٨٥.٤	٨٤.٢	٨٤.٧	٠.٧٥	٨٤	٠.٧٥	٦٥
٨٧.٥	٨٤.٥	٨٤.٩	٠.٧٤	٨٧	٠.٧٥	٧٠
٨٧.٥	٨٤.٩	٨٥.٣	٠.٧٤	٨٩	٠.٧٥	٧٥
٨٩.٥	٨٥.٥	٨٥.٨	٠.٧٣	٩٨	٠.٧٥	٨٠
٩١.٦	٨٦.٢	٨٦.٤	٠.٧٤	١١٧	٠.٧٥	٨٥
٩٣.٧	٨٦.٦	٨٧.٠	٠.٧٢	١٣٧	٠.٧٥	٩٠
٩٥.٨	٨٧.١	٨٧.٤	٠.٦٩	١٦٧	٠.٧٥	٩٥
٩٥.٨	٨٧.٨	٨٧.٩	٠.٦٧	٢٠٣	٠.٧٥	١٠٠
٩٧.٩	٨٨.٦	٨٨.٣	٠.٦٥	٢١٤	٠.٧٥	١٠٢
٧٩.٥٠	٨٢.٨	٨٢.٩٢	٠.٧٢	٨٥.٤٥	المعدل	

جدول رقم (٨) معدل النتائج لماء خام يحتوي على معدل كثرة مقدارها (٩.٥٨) NTU

خصائص الماء الخام : المواد الصلبة العالقة = ٥٤.٥٧ ملغم / لتر ، الكثافة = (٩.٥٨) ، عدد بكتيريا كلٌّي = ٦٤

الزمن (ساعة)	التصريف (لتر/ دقيقة)	خسائر الشحنة	قابلية الترشيج	كفاءة إزالة الكثرة	كفاءة إزالة الماء	الصلبة العالقة (%)	الملحوظات	
							Qout (لتر / دقيقة)	(طاقة) (سم) (سم)
٥٨.٠	٧٢.٨	٧٠.٨	٠.٦٤	٤٠	٠.٧٥	٠		
٥٩.٦	٧٣.١	٧٢.٠	٠.٦٥	٤٧	٠.٧٥	٥		
٦١.٢	٧٣.٣	٧٣.١	٠.٦٧	٥٦	٠.٧٥	١٠		
٦٢.٠	٧٣.٧	٧٤.٠	٠.٦٨	٦٥	٠.٧٥	١٥		
٦٣.٧	٧٤.٢	٧٥.٤	٠.٦٩	٧٦	٠.٧٥	٢٠		
٦٥.٣	٧٤.٦	٧٦.٣	٠.٧٠	٨١	٠.٧٥	٢٥		
٦٧.٧	٧٥.٢	٧٧.٠	٠.٦٩	٨٥	٠.٧٥	٣٠		
٧٠.١	٧٥.٩	٧٧.٨	٠.٧٠	٨٨	٠.٧٥	٣٥		
٧١.٧	٧٦.٥	٧٨.٧	٠.٧٢	٩٤	٠.٧٥	٤٠		
٧٢.٥	٧٧.٥	٧٩.٥	٠.٧١	٩٩	٠.٧٥	٤٥		
٧٥.٨	٧٨.٥	٨٠.٤	٠.٧٢	١١٢	٠.٧٥	٥٠		
٧٩.٩	٧٩.٧	٨١.٦	٠.٧١	١٢٧	٠.٧٥	٥٥		
٨٣.٠	٨٠.٩	٨٢.٧	٠.٧٠	١٤٨	٠.٧٥	٦٠		
٨٤.٦	٨٢.٣	٨٣.٩	٠.٦٩	١٦٦	٠.٧٥	٦٥		
٨٦.٢	٨٥.٠	٨٥.٠	٠.٦٨	١٨٩	٠.٧٥	٧٠		
٨٧.٩	٨٦.٢	٨٦.١	٠.٦٥	٢٠٤	٠.٧٥	٧٥		
٩١.١	٨٧.٦	٨٧.٣	٠.٦٢	٢١٧	٠.٧٥	٨٠		
٩٣.٥	٩٠.٦	٨٨.٧	٠.٥٨	٢٢٧	٠.٧٥	٨٥		
٧٤.١	٧٨.٧٥	٧٩.٤	٠.٦٧	١٠٤.٨	المعدل			

جدول رقم (٩) معدل النتائج لماء خام يحتوي على معدل كثرة مقدارها (٢٨.٣٥) NTU

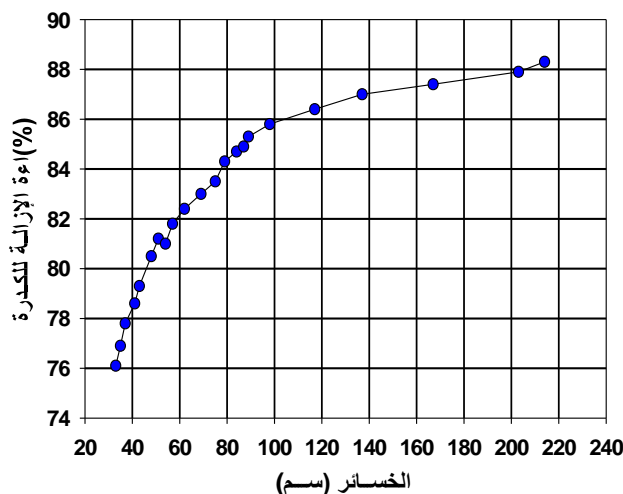
خصائص الماء الخام : المواد الصلبة العالقة = ٦٨.٣٧ ملغم / لتر ، الكثافة = (٢٨.٣٥) ، عدد بكتيريا كلٌّي = ٧٣

الزمن (ساعة)	التصريف (لتر/ دقيقة)	خسائر الشحنة	قابلية الترشيج	كفاءة إزالة الماء	كفاءة إزالة المواد	كفاءة إزالة الكثرة	(طاقة) (سم) (سم)	الملحوظات	
								Qout (لتر / دقيقة)	HL
٥٣.٧	٦٨.٤	٦٧.٤	٠.٦١	٦٢	٠.٧٥	٠			
٥٥.٧	٧٠.٨	٦٩.٨	٠.٦٢	٩٥	٠.٧٥	٥			
٥٩.١	٧٢.٩	٧٢.٩	٠.٦١	١٣٩	٠.٧٥	١٠			

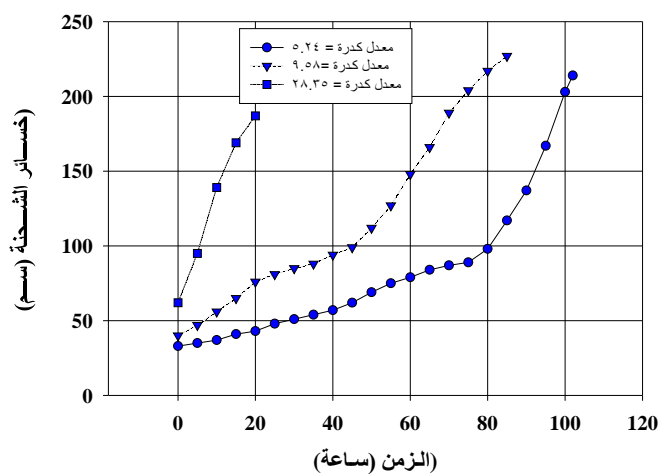
	٦٤.٦	٧٤.٧	٧٥.٤	٠.٦٢	١٦٩	٠.٧٥	١٥
طفح	٧١.٤	٧٦.٩	٧٧.٨	٠.٥٥٠	١٨٧	٠.٧٥	٢٠
	٦٠.٩	٧٢.٧٤	٧٢.٦	٠.٦٠	١٣٠.٤	المعدل	

### ١-٣-٧: خسائر الشحنة (الطاقة) :

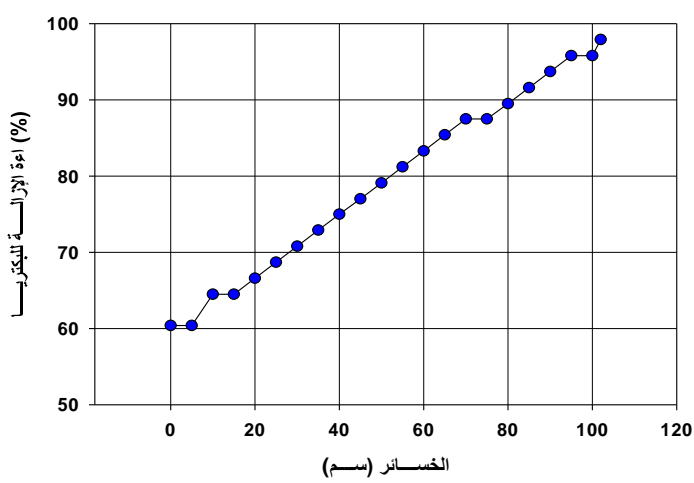
توضح الأشكال التالية (١٥-٦) تغير خسائر الشحنة (الطاقة) مع الزمن لماء حام مختلف الخصائص ، إن علاقة الخسائر مع كل من الكدرة، المواد الصلبة العالقة الكلية ، العدد البكتيري الكلي والزمن علاقة طردية ، حيث يتبين أن بزيادة كل من الكدرة والمواد الصلبة العالقة الكلية و العدد البكتيري الكلي تزداد قيمة الخسائر بمور الزمن . كان معدل الخسائر في الطاقة (الشحنة) (٨٥.٤ سم) عندما كان الماء الحام يحتوي على معدل كدرة مقدارها (٥.٢٤) NTU وفترة تشغيل (١٠٢) ساعة (أكثر من أربعة أيام) ، كان معدل الخسائر في الطاقة (الشحنة) (١٠٤.٨ سم) عندما كان الماء الحام يحتوي على معدل كدرة مقدارها (٩.٥٨) NTU وفترة تشغيل (٩٥.٨) ساعة (أقل من ثلاثة أيام) ، كان معدل الخسائر في الطاقة (الشحنة) (١٣٠.٤ سم) عندما كان الماء الحام يحتوي على معدل كدرة مقدارها (٢٨.٣٥) NTU وفترة تشغيل (٢٠) ساعة (أقل من يوم واحد).



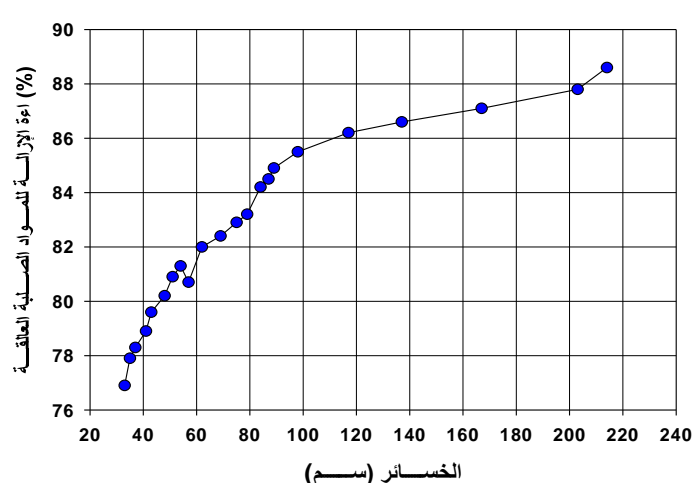
شكل رقم (٧) يبين تغير كفاءة الإزالة للكدرة تساوي (٥.٢٤) مع الخسائر



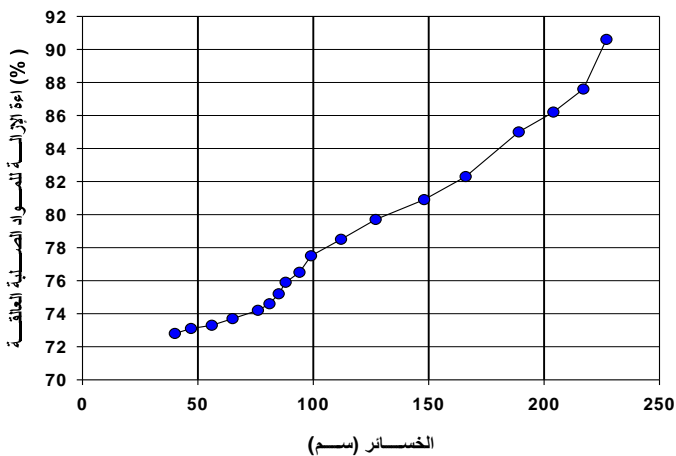
شكل رقم (٦) يبين تغير خسائر الشحنة مع الزمن



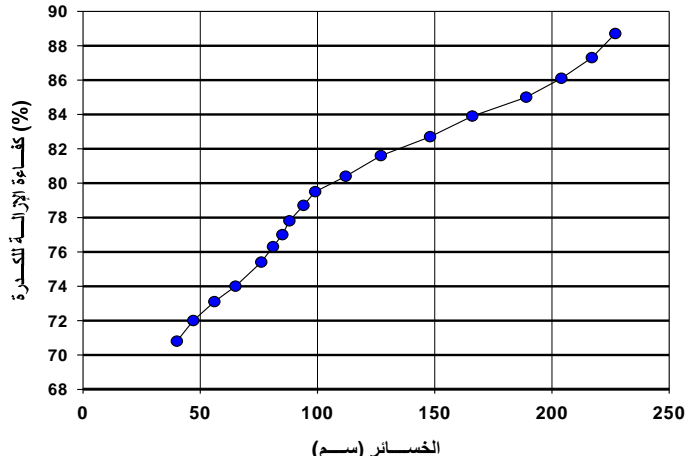
شكل رقم (٩) يبين تغير كفاءة الإزالة للبكتيريا لمعدل كدرة يساوي (٥.٢٤) سم



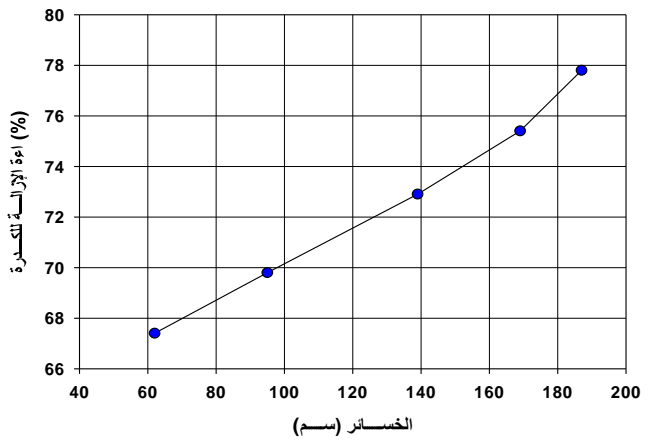
شكل رقم (٨) يبين تغير كفاءة الإزالة للمواد الصلبة العالقة مع الخسائر لمعدل كدرة يساوي (٥.٢٤) سم



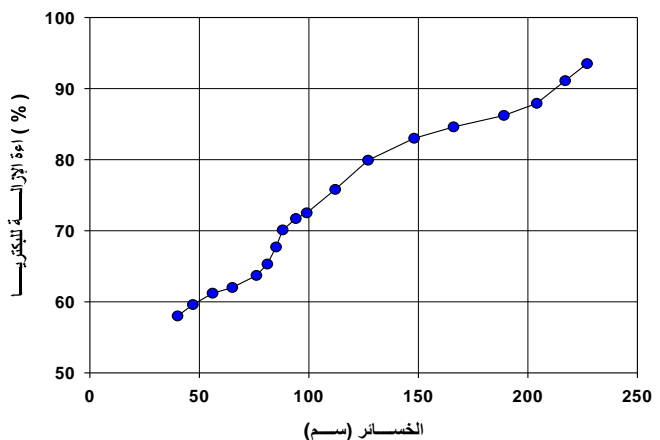
شكل رقم (١١) يبين تغير كفاءة الإزالة للمواد الصلبة العالقة مع الحسائر  
لمعدل كدرة يساوي (٩٠.٥٨)



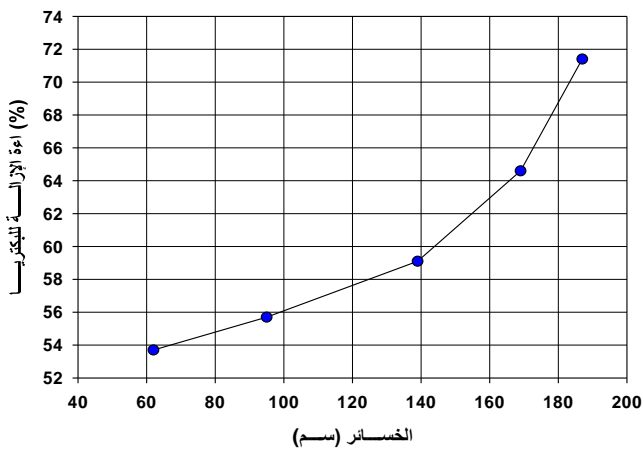
شكل رقم (١٠) يبين تغير كفاءة الإزالة للكدرة مع الحسائر  
لمعدل كدرة يساوي (٩٠.٥٨)



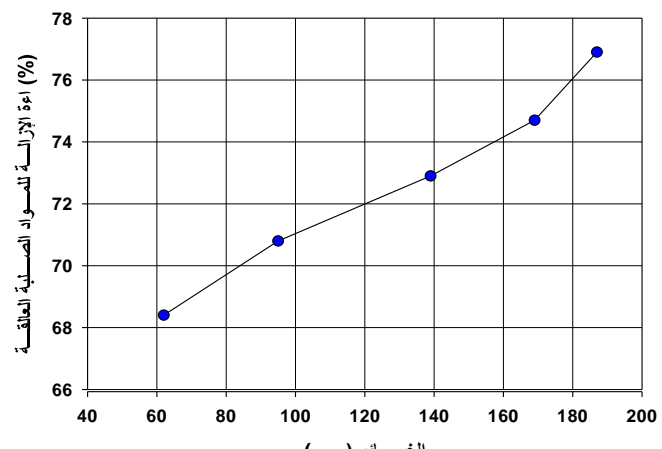
شكل رقم (١٣) يبين تغير كفاءة الإزالة للكدرة مع الحسائر  
لمعدل كدرة يساوي (٢٨.٣٥)



شكل رقم (١٢) يبين تغير كفاءة الإزالة للكترينا مع الحسائر  
لمعدل كدرة يساوي (٩٠.٥٨)



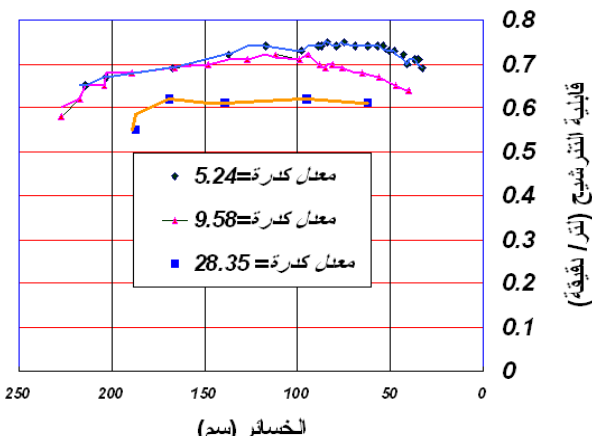
شكل رقم (١٥) يبين تغير كفاءة الإزالة للكترينا مع الحسائر  
لمعدل كدرة يساوي (٢٨.٣٥)



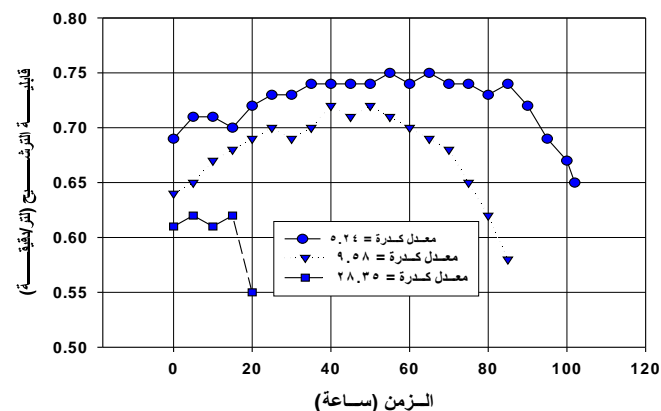
شكل رقم (١٤) يبين تغير كفاءة الإزالة للمواد الصلبة العالقة مع الحسائر  
لمعدل كدرة يساوي (٢٨.٣٥)

### ٢-٣-٧: قابلية الترشيح :

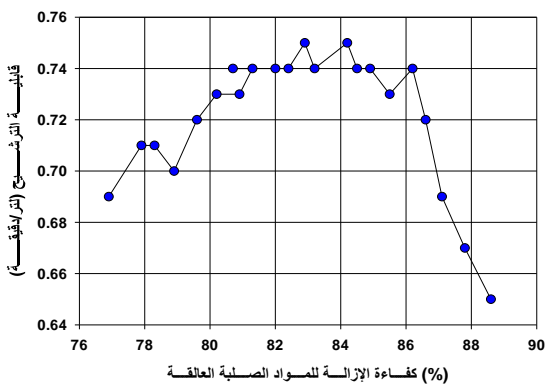
توضح الأشكال التالية (٢٦-١٦) تغير قابلية الترشيح مع الزمن لماء حام مختلف الخصائص ، وكذلك توضح العلاقة بين كفاءة الإزالة وقابلية الترشيح ، حيث يتبين أن بزيادة كل من الكثافة والمواد الصلبة العالقة الكلية و العدد البكتيري الكلي تقل قابلية الترشيح بمرور الزمن . .. كان معدل قابلية الترشيح (٧٢.٠ لتر/دقيقة) عندما كان الماء الحام يحتوي على معدل كدرة مقدارها (٥.٢٤) NTU وفترة تشغيل (١٠٢) ساعة (أكثر من أربعة أيام)، كان معدل قابلية الترشيح (٦٧.٠ لتر/دقيقة) عندما كان الماء الحام يحتوي على معدل كدرة مقدارها (٩.٥٨) NTU وفترة تشغيل (٨٥) ساعة (أكثر من ثلاثة أيام)، كان معدل قابلية الترشيح (٦٠.٠ لتر/دقيقة) عندما كان الماء الحام يحتوي على معدل كدرة مقدارها (٢٨.٣٥) NTU وفترة تشغيل (٢٠) ساعة (أقل من يوم واحد).



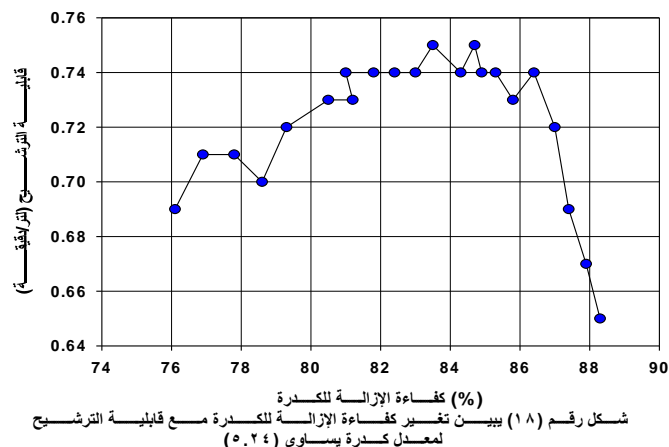
شكل رقم (١٧) يبين تغير قابلية الترشيج مع خسائر الشحنة



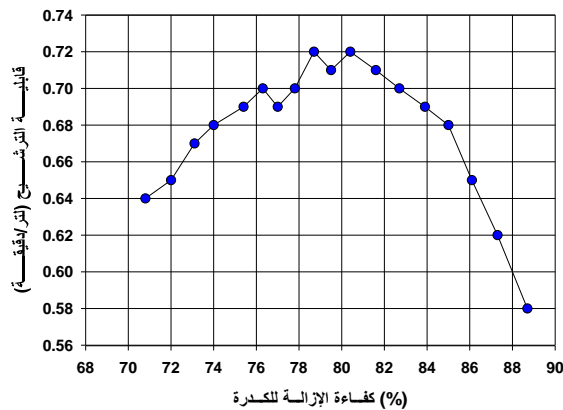
شكل رقم (١٦) يبيّن تغير قابلية الترشيج مع الزمن



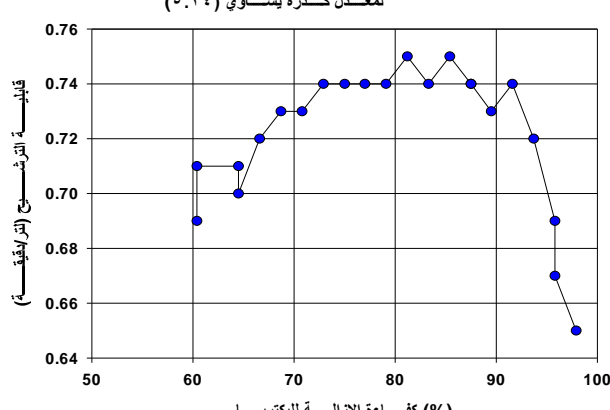
شكل رقم (١٩) يبيّن تغير كفاءة الإزالة للمواد الصلبة العالقة الصالبة مع قابلية الترشيج لمعدل كدرة يساوي (٥.٢٤)



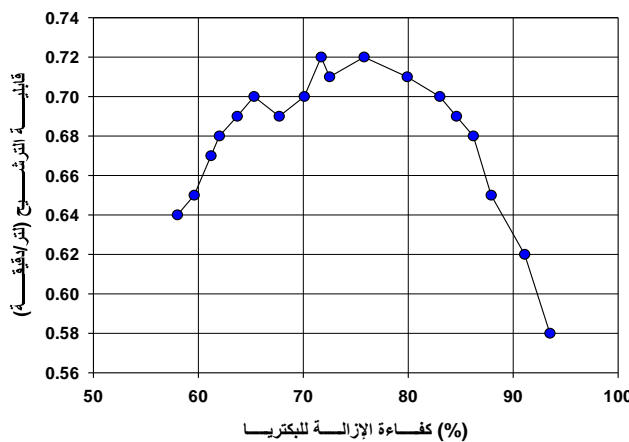
شكل رقم (١٨) يبيّن تغير كفاءة الإزالة للكدرة مع قابلية الترشيج معدل كدرة يساوي (٥.٢٤)



شكل رقم (٢١) يبيّن تغير كفاءة الإزالة للكدرة مع قابلية الترشيج لمعدل كدرة يساوي (٩.٥٨)

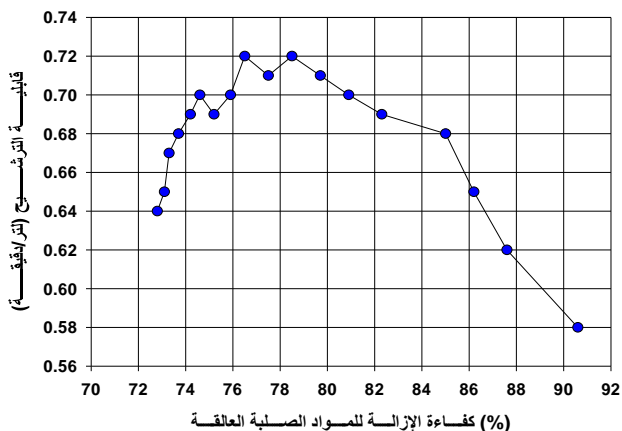


شكل رقم (٢٠) يبيّن تغير كفاءة الإزالة للبكتيريا مع قابلية الترشيج معدل كدرة يساوي (٥.٢٤)



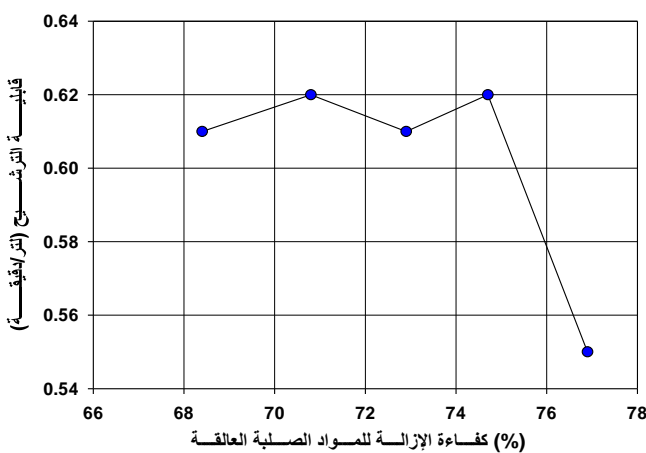
شكل رقم (٢٣) يبين تغير كفاءة إزالة البكتيريا

مع قابلية الترشح لمعدن كدرة يساوي (٩٠.٥٨)  
(%)

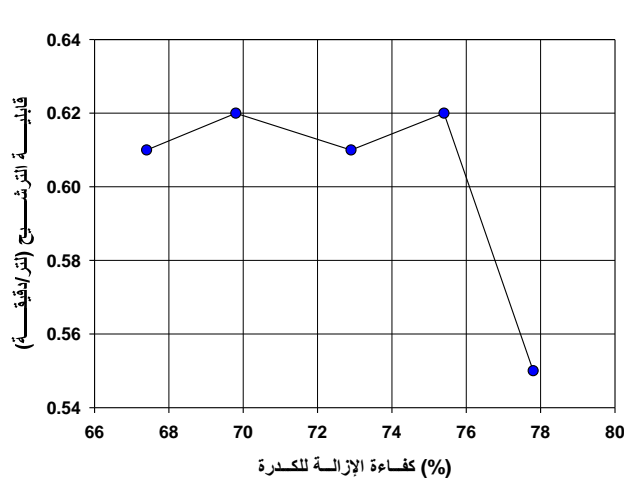


شكل رقم (٢٤) يبيّن تغير كفاءة إزالة للمواد الصلبة العالقة

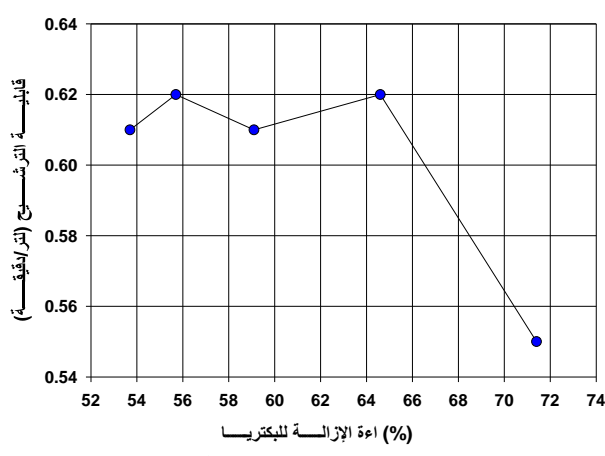
مع قابلية الترشح لمعدن كدرة يساوي (٩٠.٥٨)  
(%)



شكل رقم (٢٥) يبيّن تغير كفاءة إزالة للمواد الصلبة العالقة مع قابلية الترشح لمعدن كدرة يساوي (٢٨.٣٥)  
(%)



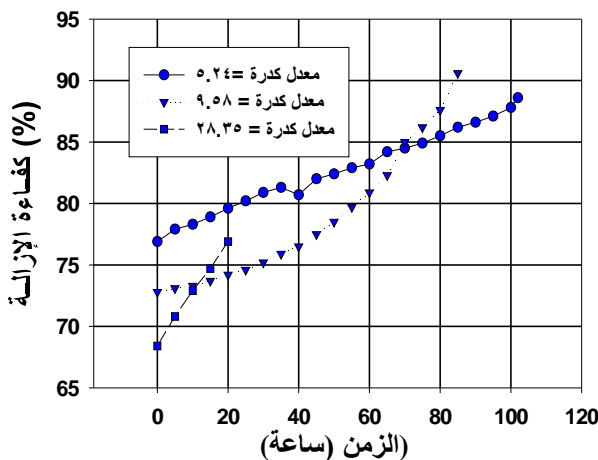
شكل رقم (٢٦) يبيّن تغير كفاءة إزالة لكدرة مع قابلية الترشح لمعدن كدرة يساوي (٢٨.٣٥)  
(%)



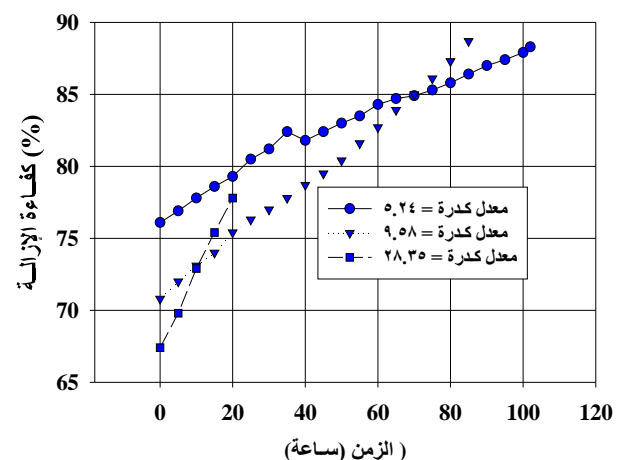
شكل رقم (٢٧) يبيّن تغير كفاءة إزالة للبكتيريا مع قابلية الترشح لمعدن كدرة يساوي (٢٨.٣٥)  
(%)

#### ٤-٧- كفاءة الإزالة:

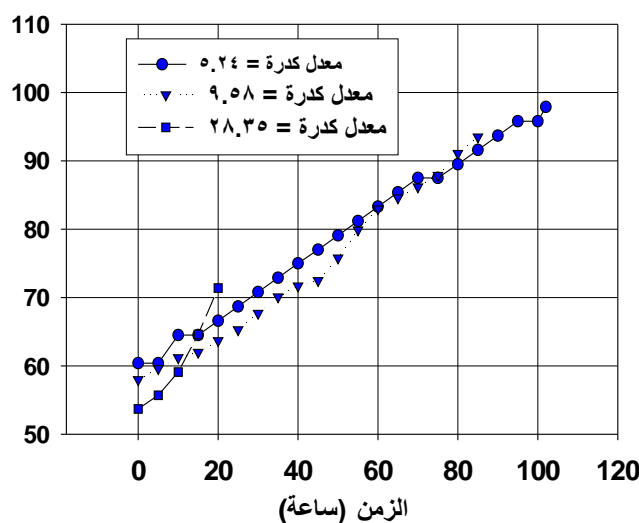
توضح الأشكال (٢٧)، (٢٨) و(٢٩) كفاءة الإزالة لكل من الكدرة ، المواد الصلبة العالقة الكلية والعدد البكتيري الكلي ، حيث يتبيّن أن كفاءة الإزالة تزداد بمرور الزمن الى حد معين ثم تبدأ بالتقسان كذلك يتبيّن انه بزيادة كل من الكدرة ، المواد الصلبة العالقة الكلية والعدد البكتيري الكلي تقل كفاءة الإزالة الكلية . بينت النتائج التجارب الحقيقة أن معدل كفاءة الإزالة الكلية عندما كان الماء الخام يحتوي على معدل كدرة مقدارها (٥.٢٤) NTU لكل من الكدرة ، المواد الصلبة العالقة والعدد البكتيري الكلي كانت (٨٢.٩٪، ٨٢.٨٪، ٨٢.٦٪) على التوالي ، ومعدل كفاءة الإزالة الكلية عندما كان الماء الخام يحتوي على معدل كدرة مقدارها (٩.٥٨) NTU لكل من الكدرة ، المواد الصلبة العالقة والعدد البكتيري الكلي كانت (٧٤.١٪، ٧٤.٠٪، ٧٤.٣٪) على التوالي و معدل كفاءة الإزالة الكلية عندما كان الماء الخام يحتوي على معدل كدرة مقدارها (٢٨.٣٥) NTU لكل من الكدرة ، المواد الصلبة العالقة والعدد البكتيري الكلي كانت (٦٠.٩٪، ٦٢.٧٪، ٦٣.٣٪) على التوالي.



شكل رقم (٢٨) يبيّن تغير كفاءة الإزالة للمواد الصلبة العالقة مع الزمن



شكل رقم (٢٧) يبيّن تغير كفاءة الإزالة مع الزمن



شكل رقم (٢٩) يبيّن تغير كفاءة الإزالة للعدد الكلي للبكتيريا مع الزمن

#### ٨- الاستنتاجات والتوصيات :

١- توصلت الدراسة أن الرمل السيليكي المحلي يمتلك خصائص نوعية ملائمة إلى درجة كبيرة لغرض إستخدامه في مرشحات محطات معالجة مياه الشرب لهذا توصي الدراسة بإستخدامه في مرشحات معالجة مياه الشرب لكافأته في إزالة كل من الكدرة ، المواد الصلبة العالقة المائية والعدد البكتيري الكلي .

٢- إجراء بحوث مستقبلية لمعرفة كفاءة الإزالة للرمل السيليكي العراقي لخصائص المياه المهمة الأخرى مثل المتطلب الأحيائي - الكيميائي للأوكسجين (Biochemical Oxygen Demand) ، الكبريتات ، النترات ، الصوديوم ، الكالسيوم ، المغسيسيوم .. الخ.

## ٩- المصادر:

- 1- TEBBUTT .T.H.y. 'PRINCIPLES OF WATER QUALITY CONTROL",5th Ed, British Library ,Biddles Ltd.1998.
- 2- Viessman W., and Hammer M. 1985," Water Supply and Pollution Control", 4th ed, Harper and Row, New York,.
- ٣- العدوبي ، محمد صادق " هندسة الإمداد بالمياه" كلية الهندسة -جامعة الإسكندرية،منشأة المعارف ،٢٠٠٥ .
- ٤- أحمد، عصام محمد عبدالماجد ،١٩٩٥ ."الهندسة البيئية" جامعة السلطان قابوس ، كلية الهندسة ،دار المستقبل للنشر والتوزيع.
- 5- Metcalf & Eddy (2003), Wastewater engineering: treatment and reuse, 4th edition, McGraw Hill: New York.
- 6-Fair , G.M., Geyer J.C., and Okun . D.A. (1968)."Water and Wastewater Engineering, Volume 2.Wiley,New York.
- 7- Ceronio. AD \* and Haarhoff. J ,1997 " Properties of South African silica sand used for rapid filtration" Water Research Group, Department of Civil Engineering, Rand Afrikaans University, South Africa .
- 8- American Society for Testing and Materials. Concrete and Aggregates, 1993 Annual Book of ASTM Standards , Vol. 04.02. Philadelphia, Pennsylvania : ASTM, 1993.
- ٩- American Water Works Association.AWWA Standard for Filtering Material, Standard B100-96.  
Denver, Colorado:AWWA, 1996.
- 10- Cleasby, J. L., and logsdon ,G.s.,1992 "Granular Bed And Precoat Filtration." Iowa State University , Department of Civil and Construction .
- 11- Cleasby, J. L., and Fan. K. S.., 1981 "Predicting Fluidization and Expansion of Filter Media." Journal Envir. Engrg. Div.—ASCE, 107(EE3).
- 12-Trefethen, J.M."Geology for Engineers", 2nd ed. Princeton, New Jersey:D.Van Nostrand Co., 1959.
- ١٢- المركز القومي للمختبرات الإنسانية، قسم البحوث والشؤون القنية ، ٢٠٠١ ،"مواصفات المواد الإنسانية " بغداد العراق .
- 14-APHA, AWWA, WPCE, 1995" Standard Methods for the Examination of Water and Wastewater", 17th Ed. USA.